

05,11

## Исследование критических свойств модели Изинга на объемно центрированной кубической решетке с учетом взаимодействия следующих за ближайшими соседями

© А.К. Муртазаев<sup>1,2</sup>, М.К. Рамазанов<sup>1,¶</sup>, Д.Р. Курбанова<sup>1</sup>, М.К. Бадиев<sup>1</sup>, Я.К. Абуев<sup>1</sup>

<sup>1</sup> Институт физики ДагНЦ РАН,  
Махачкала, Россия

<sup>2</sup> Дагестанский государственный университет,  
Махачкала, Россия

¶ E-mail: sheikh77@mail.ru

(Поступила в Редакцию 10 мая 2016 г.  
В окончательной редакции 14 ноября 2016 г.)

Репличным методом Монте-Карло выполнены исследования критического поведения трехмерной антиферромагнитной модели Изинга на объемно центрированной кубической решетке с учетом взаимодействий следующих за ближайшими соседями. Исследования проведены для соотношений величин обменных взаимодействий следующих за ближайшими и ближайших соседей  $k = J_2/J_1$  в диапазоне значений  $k \in [0.0, 1.0]$  с шагом  $\Delta k = 0.1$ . В рамках теории конечно-размерного скейлинга рассчитаны статические критические индексы теплоемкости  $\alpha$ , восприимчивости  $\gamma$ , параметра порядка  $\beta$ , радиуса корреляции  $\nu$ , а также индекс Фишера  $\eta$ . Показано, что класс универсальности критического поведения этой модели сохраняется в интервале значений  $k \in [0.0, 0.6]$ . Установлено, что в диапазоне  $k \in [0.8, 1.0]$  наблюдается неуниверсальное критическое поведение.

Исследование выполнено при финансовой поддержке РФФИ в рамках научных проектов № 16-02-00214-а и 16-32-00105-мол-а.

DOI: 10.21883/FTT.2017.06.44480.169

### 1. Введение

В последнее время особое внимание уделяется исследованию магнитных состояний, фазовых переходов (ФП) и критических явлений в фрустрированных спиновых системах. Это связано с тем, что указанные системы зачастую проявляют поведение, отличное от поведения соответствующих нефрустрированных систем. Причина такого поведения заключается в сильном вырождении в спиновой подсистеме, эффективном ослаблении связи и, как следствие, в высокой чувствительности к различным возмущающим факторам: дополнительным взаимодействиям, слабым полям, тепловым и квантовым флуктуациям, анизотропии, дефектам и деформациям [1–4].

Результаты исследований многих авторов показывают, что наличие фрустраций приводит к существенному изменению ряда свойств фундаментального характера [4–8]. Можно отметить проблемы, связанные с определением характера ФП, с особенностями и факторами, влияющими на формирование классов универсальности магнитного и кирального критического поведения фрустрированных спиновых систем и др. Кроме того, учет антиферромагнитных взаимодействий следующих за ближайшими соседями в классической трехмерной модели Изинга приводит к вырождению основного состояния, появлению различных фаз, ФП и аномалий критических свойств [9].

В настоящей работе нами предпринята попытка на основе метода Монте-Карло (МК) провести исследова-

ние критических свойств антиферромагнитной модели Изинга на объемно центрированной кубической решетке с учетом взаимодействий ближайших и следующих за ближайшими соседями.

Теоретические расчеты и численное моделирование методом МК для этой модели были проведены в [10–16]. Авторы работы [10] методом МК провели исследование критического поведения модели Изинга на различных типах решеток, вычислили температуру ФП и рассчитали значения термодинамических параметров в критической области. Теоретические исследования, проведенные в работах [11,12], также свидетельствуют о том, что для модели Изинга на простой кубической решетке и объемно центрированной кубической решетке имеет место ФП второго рода. Аналогичные результаты получены и в [13–15]. Авторы этих работ рассчитали критические индексы для некоторых термодинамических параметров. Согласно результатам работ [14,15], переход из ферромагнитной фазы в парамагнитную фазу является переходом второго рода, а переход из антиферромагнитной фазы в парамагнитную — переходом первого рода. Отсюда следует, что при увеличении взаимодействия вторых ближайших соседей в системе происходит смена ФП второго рода на ФП первого рода.

Интерес к антиферромагнитной модели Изинга на объемно центрированной кубической решетке обусловлен тем, что учет взаимодействия следующих за ближайшими соседями может привести к возникновению фрустраций, что усложняет решение. При изучении фрустри-

рованных систем до сих пор основное внимание уделялось спиновым системам на квадратной, треугольной и гексагональной решетке [17–25]. Критические свойства фрустрированных систем на объемно центрированной кубической решетке с учетом взаимодействий вторых ближайших соседей практически не исследованы. Кроме того, первые попытки исследования этой модели предпринимались в то время, когда мощности вычислительных машин и используемые алгоритмы метода МК не позволяли рассчитывать критические параметры с необходимой степенью точности.

Исследование этой модели на основе современных методов и идей позволит получить ответ на ряд вопросов, связанных с критическими свойствами фрустрированных спиновых систем.

## 2. Модель и метод исследования

Антиферромагнитная модель Изинга на объемно центрированной кубической решетке с учетом взаимодействий ближайших и следующих за ближайшими соседями описывается гамильтонианом

$$H = J_1 \sum_{\langle i,j \rangle} (S_i S_j) + J_2 \sum_{\langle i,l \rangle} (S_i S_l), \quad (1)$$

где  $S_{i,j,l} = \pm 1$  — изинговский спин. Первый член в формуле (1) учитывает обменное взаимодействие ближайших соседей величиной  $J_1 > 0$ , а второй — следующих за ближайшими соседями величиной  $J_2 > 0$ ;  $k = J_2/J_1$  — величина соотношения взаимодействий следующих за ближайшими и ближайших соседей. Схематически эта модель представлена на рис. 1.

Исследование ФП фрустрированных спиновых систем традиционными теоретическими, экспериментальными и численными методами сталкивается с рядом труднопреодолимых проблем. Это связано с тем, что для таких моделей характерна проблема многочисленных долин локальных минимумов энергии. Строго и последовательно на основе микроскопических гамильтонианов такие системы могут быть изучены методами МК [16–18, 20, 22–27], но обычные методы МК плохо справляются с решением этих проблем. В связи с этим в последнее время разработано много новых вариантов алгоритмов метода МК, которые позволяют преодолеть указанные проблемы. Одними из наиболее мощных и эффективных в исследовании ФП и критических явлений в фрустрированных системах оказались репличные алгоритмы метода МК [28, 29]. Поэтому в настоящей работе был использован высокоэффективный репличный обменный алгоритм метода МК.

Расчеты проводились для систем с периодически граничными условиями и линейными размерами  $L \times L = N$ ,  $L = 12–90$ , где  $L$  измеряется в размерах элементарной ячейки. Соотношение обменного взаимодействия следующих за ближайшими и ближайших соседей менялось в интервале  $k \in [0.0, 1.0]$  с шагом

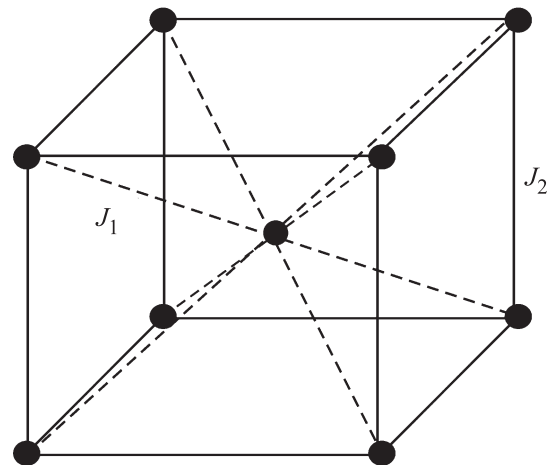


Рис. 1. Схематическое изображение объемно центрированной кубической решетки.

$\Delta k = 0.1$ . Для вывода системы в состояние термодинамического равновесия отсекался неравновесный участок длиной  $\tau_0 = 4 \cdot 10^5$  шагов МК на спин, что в несколько раз больше длины неравновесного участка. Усреднение термодинамических параметров проводилось вдоль марковской цепи длиной до  $\tau = 500\tau_0$  шагов МК на спин.

## 3. Результаты моделирования

Для наблюдения за температурным ходом теплоемкости  $C$  и восприимчивости  $\chi$  использовались выражения [30, 31]

$$C = (NK^2)(\langle U^2 \rangle - \langle U \rangle^2), \quad (2)$$

$$\chi = \begin{cases} (NK)(\langle M^2 \rangle - \langle M \rangle^2), & T < T_N, \\ (NK)\langle M^2 \rangle, & T \geq T_N, \end{cases} \quad (3)$$

где  $K = |J|/k_{BT,N}$  — число частиц,  $T_N$  — критическая температура (здесь и далее температура дана в единицах  $|J_1|/k_B$ ),  $U$  — внутренняя энергия,  $M$  — параметр порядка ( $U$  и  $M$  являются нормированными величинами).

Результаты наших исследований показывают, что при  $k = 0.7$  система имеет некоторые особенности, связанные с поведением термодинамических параметров и типом ФП. Поэтому нами этот случай рассматривается более подробно.

На рис. 2 и 3 представлены характерные зависимости теплоемкости и восприимчивости от температуры для систем с линейными размерами  $L = 12, 24, 36$  и  $48$  при  $k = 0.7$  (здесь и на всех последующих рисунках статистическая погрешность не превышает размеров символов, использованных для построения зависимостей).

Отметим, что на зависимости теплоемкости  $C$  и восприимчивости  $\chi$  от температуры для всех систем вблизи критической температуры наблюдаются хорошо выраженные максимумы, которые увеличиваются с ростом числа спинов в системе, причем эти максимумы в

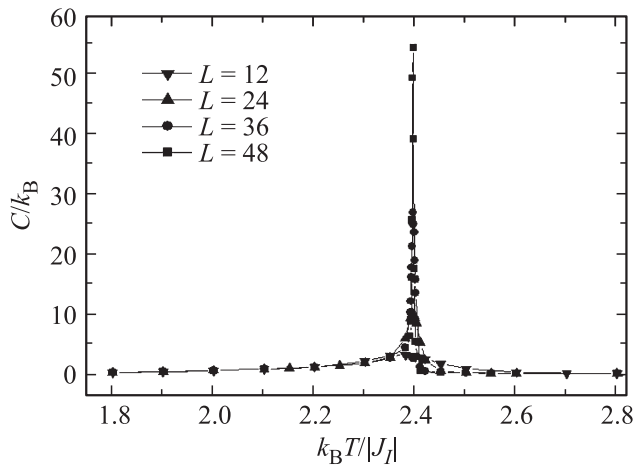


Рис. 2. Зависимость теплоемкости  $C/k_B$  от температуры  $k_B T/|J_1|$  для  $k = 0.7$  при различных  $L$ .

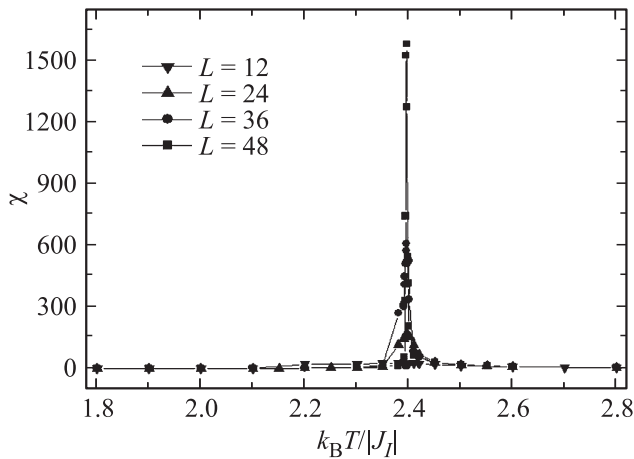


Рис. 3. Зависимость восприимчивости  $\chi$  от температуры  $k_B T/|J_1|$  для  $k = 0.7$  при различных  $L$ .

пределах погрешности приходится на одну и ту же температуру даже для систем с наименьшим значением  $L$ . Это свидетельствует, во-первых, о высокой эффективности использованного способа добавления периодических граничных условий, а во-вторых, о достижении насыщения по  $N$  для многих исследуемых нами параметров.

Для анализа рода ФП нами использовался гистограммный анализ данных метода МК [32,33]. Этот метод позволяет надежно определить род ФП. Методика определения рода ФП с его помощью подробно описана в [34,35].

Результаты настоящей работы показывают, что переход при  $k = 0.7$  является ФП второго рода. Это продемонстрировано на рис. 4 и 5. На этих рисунках представлены гистограммы распределения энергии для систем с линейными размерами  $L = 48, 60, 72$  и  $90$ . Графики построены вблизи критической температуры. Из рис. 4 и 5 видно, что на зависимости вероятности  $P$  от энергии  $U$  для систем с линейными размерами  $L = 48,$

$60$  и  $72$  наблюдаются два хорошо выраженных максимума. Наличие двойного максимума на гистограмме распределения энергии является достаточным условием для ФП первого рода. Однако, как видно из рис. 5, для системы с линейными размерами  $L = 90$  наблюдается один максимум, который свидетельствует в пользу ФП второго рода. Таким образом, при  $k = 0.7$  в системе с малыми линейными размерами ( $L < 90$ ) наблюдается ФП первого рода. Для всех остальных значений  $k$  в зависимости вероятности  $P$  от энергии  $U$  для систем даже с малыми линейными размерами наблюдается один максимум, который свидетельствует в пользу ФП второго рода. Это продемонстрировано на рис. 6 для случая  $k = 0.9$ .

Более подробно анализ рода ФП для этой модели при всех значениях  $k \in [0.0, 1.0]$  был проведен нами в работе [16]. Согласно результатам этой работы, во всем рассмотренном интервале значений  $k$  наблюдаются ФП второго рода. Случай  $k = 0.7$  представляет особый интерес и имеет некоторые особенности, которые обсуждались нами выше. Это связано с тем,

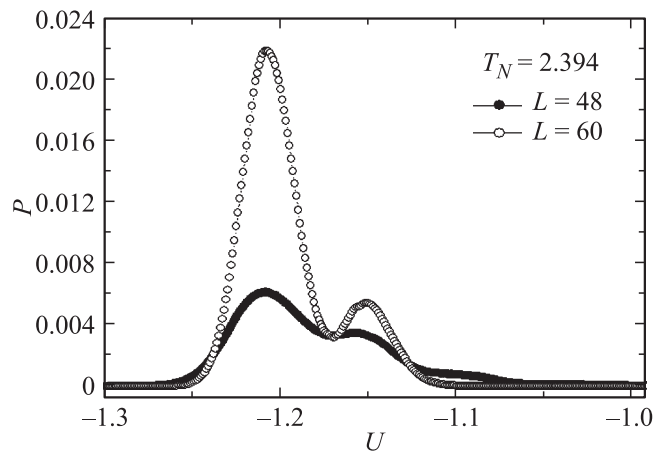


Рис. 4. Гистограмма распределения энергии для  $k = 0.7$  при  $L = 48$  и  $60$ .

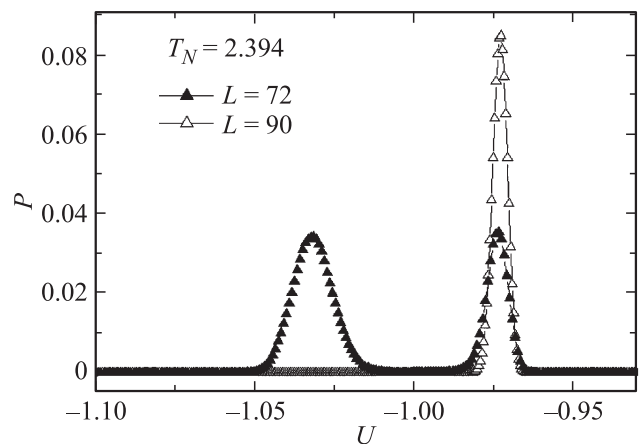
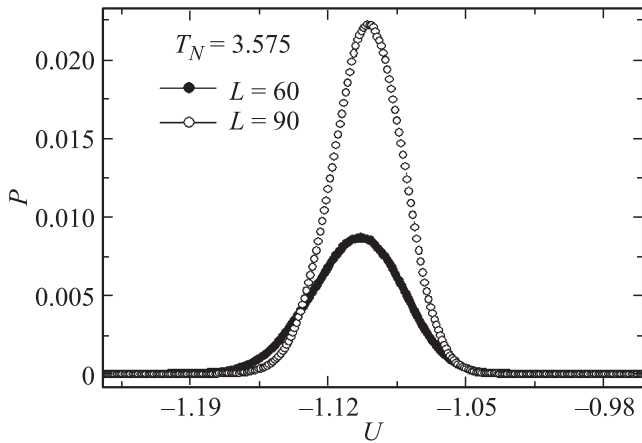


Рис. 5. Гистограмма распределения энергии для  $k = 0.7$  при  $L = 72$  и  $90$ .



**Рис. 6.** Гистограмма распределения энергии для  $k = 0.9$  при  $L = 60$  и  $90$ .

что вблизи этой точки пересекаются три различные фазы: I — антиферромагнитная, II — парамагнитная, III — антиферромагнитная второго типа [14,15]. Об этом свидетельствует фазовая диаграмма зависимости критической температуры от величины взаимодействия следующих за ближайшими соседями, полученная нами в работе [16].

Для расчета статических критических индексов теплоемкости  $\alpha$ , восприимчивости  $\gamma$ , параметра порядка  $\beta$ , радиуса корреляции  $\nu$  и индекса Фишера  $\eta$  применялись соотношения теории конечно-размерного скейлинга [18,23,31].

Из теории конечно-размерного скейлинга следует, что в системе с размерами  $L \times L \times L$  при  $T = T_N$  и достаточно больших  $L$  выполняются следующие выражения [23,31]:

$$M \sim L^{-\beta/\nu}, \tag{4}$$

$$\chi \sim L^{\gamma/\nu}, \tag{5}$$

$$V_n \sim L^{1/\nu} g_{V_n}, \tag{6}$$

где  $g_{V_n}$  — некоторая постоянная, а в качестве  $V_n$  могут выступать

$$V_n = \frac{\langle M^n U \rangle}{\langle M^n \rangle} - \langle U \rangle, \quad n = 1, 2, 3. \tag{7}$$

Эти выражения были использованы нами для определения  $\beta$ ,  $\gamma$  и  $\nu$ .

Для аппроксимации температурной зависимости теплоемкости от  $L$  на практике, как правило, используется выражение [20]

$$C_{\max}(L) = A_1 - A_2 L^{\alpha/\nu}, \tag{8}$$

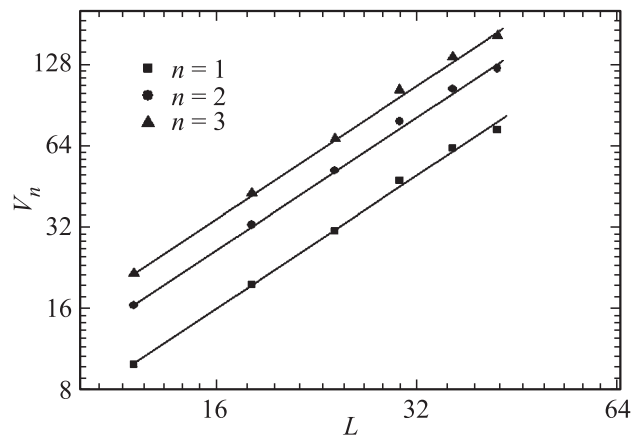
где  $A_1$  и  $A_2$  — некоторые коэффициенты.

На рис. 7 и 8 в двойном логарифмическом масштабе представлены характерные зависимости параметров  $V_n$  при  $n = 1, 2, 3$  от линейных размеров решетки  $L$  для

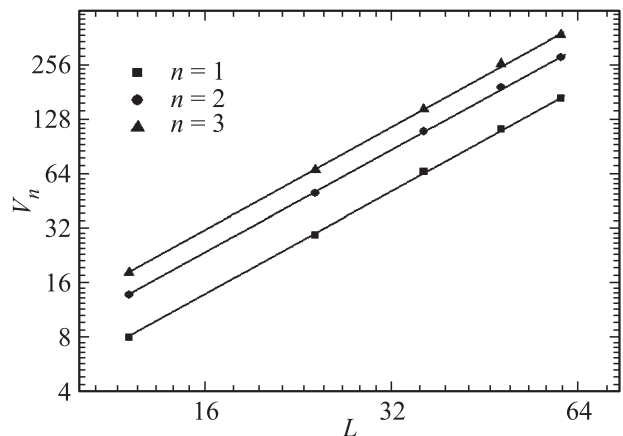
$k = 0.3$  и  $0.9$ . Как видно из рисунков, все точки на графиках в пределах погрешности хорошо ложатся на прямые. Зависимости на рисунках, построенные в соответствии с методом наименьших квадратов, параллельны друг другу. Углы наклона прямых определяют значения  $1/\nu$ . Вычисленные таким образом значения  $\nu$  использовались для определения критических индексов теплоемкости  $\alpha$ , восприимчивости  $\gamma$  и параметра порядка  $\beta$ .

На рис. 9–12 в двойном логарифмическом масштабе представлены характерные зависимости магнитного параметра порядка  $M$  и восприимчивости  $\chi$  от линейных размеров решетки  $L$  для  $k = 0.3$  и  $0.9$ . Все точки в пределах погрешности ложатся на прямые. Углы наклона этих прямых определяют значения  $\beta/\nu$  и  $\gamma/\nu$ . По этой схеме были определены значения и для теплоемкости  $\alpha/\nu$ . На основе данных по  $\nu$  вычислялись статические критические индексы  $\alpha$ ,  $\beta$  и  $\gamma$ .

Эта процедура использовалась для расчета критических индексов при значениях  $k = 1.0, 0.9, 0.8, 0.6, 0.5, 0.4, 0.3, 0.2, 0.1$  и  $0.0$ . Все значения статических критических индексов, полученные таким образом, представлены в табл. 1. Для случая  $k = 0.7$  не удалось



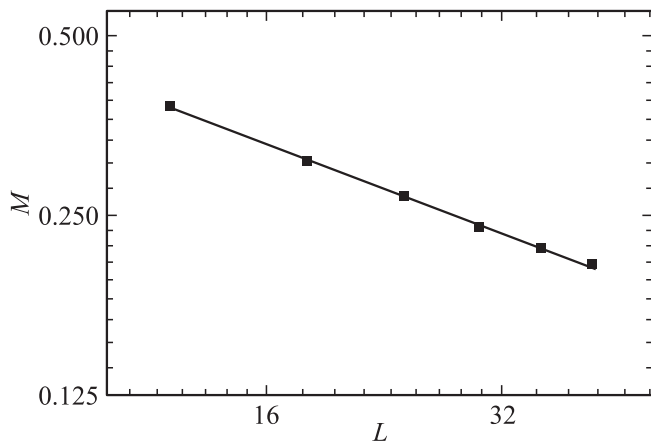
**Рис. 7.** Зависимость параметра  $V_n$  от линейных размеров системы  $L$  при  $T = T_n$  для  $k = 0.3$ .



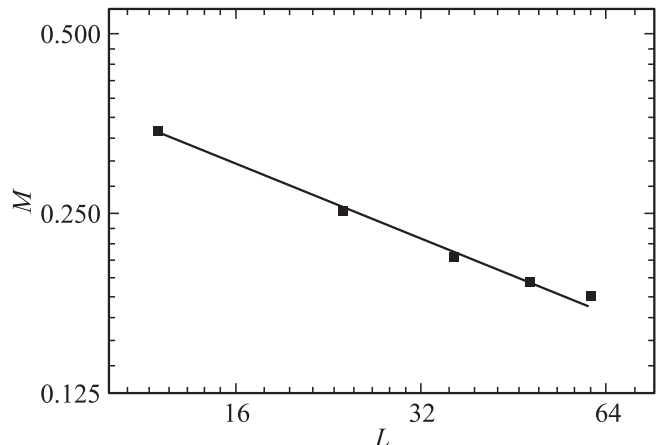
**Рис. 8.** Зависимость параметра  $V_n$  от линейных размеров системы  $L$  при  $T = T_n$  для  $k = 0.9$ .

**Таблица 1.** Значения критических индексов для трехмерной антиферромагнитной модели Изинга на объемно центрированной кубической решетке

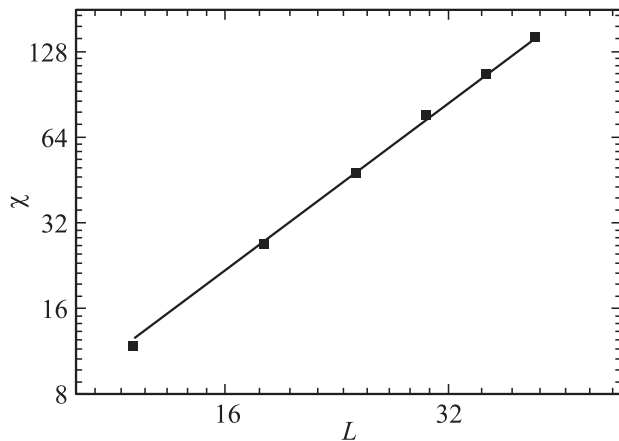
| $k$                                     | $\alpha$ | $\beta$    | $\gamma$ | $\nu$      | $\eta$   | $\alpha + 2\beta + \gamma = 2$ |
|---|----------|------------|----------|------------|----------|--------------------------------|
| 0.0                                     | 0.13(2)  | 0.31(1)    | 1.23(1)  | 0.63(1)    | 0.04(2)  | 1.98                           |
| 0.1                                     | 0.13(2)  | 0.30(1)    | 1.24(1)  | 0.62(1)    | 0.03(2)  | 1.97                           |
| 0.2                                     | 0.13(2)  | 0.31(1)    | 1.23(1)  | 0.62(1)    | 0.02(2)  | 1.98                           |
| 0.3                                     | 0.12(2)  | 0.31(1)    | 1.25(1)  | 0.64(1)    | 0.04(2)  | 1.99                           |
| 0.4                                     | 0.13(2)  | 0.31(1)    | 1.22(1)  | 0.63(1)    | 0.05(2)  | 1.97                           |
| 0.5                                     | 0.12(2)  | 0.31(1)    | 1.24(1)  | 0.62(1)    | 0.03(2)  | 1.98                           |
| 0.6                                     | 0.13(2)  | 0.31(1)    | 1.22(1)  | 0.62(1)    | 0.03(2)  | 1.97                           |
| 0.8                                     | 0.63(2)  | 0.20(1)    | 1.01(1)  | 0.48(1)    | -0.07(2) | 2.03                           |
| 0.9                                     | 0.47(2)  | 0.22(1)    | 1.12(1)  | 0.54(1)    | -0.05(2) | 2.03                           |
| 1.0                                     | 0.40(2)  | 0.25(1)    | 1.14(1)  | 0.58(1)    | -0.01(2) | 2.04                           |
| Нефрустрированная<br>модель Изинга [36] | 0.108(9) | 0.3265(25) | 1.239(4) | 0.6305(25) | 0.037(3) | 2.000                          |



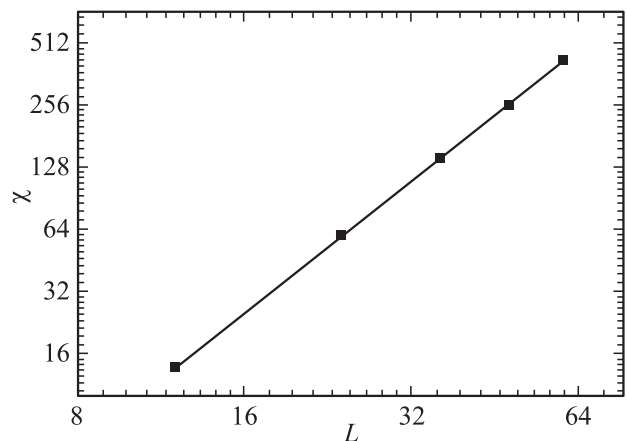
**Рис. 9.** Зависимость параметра порядка  $M$  от линейных размеров системы  $L$  при  $T = T_N$  для  $k = 0.3$ .



**Рис. 11.** Зависимость параметра порядка  $M$  от линейных размеров системы  $L$  при  $T = T_N$  для  $k = 0.9$ .



**Рис. 10.** Зависимость восприимчивости  $\chi$  от линейных размеров системы  $L$  при  $T = T_N$  для  $k = 0.3$ .



**Рис. 12.** Зависимость восприимчивости  $\chi$  от линейных размеров системы  $L$  при  $T = T_N$  для  $k = 0.9$ .

рассчитать значения критических индексов. Это связано с тем, что для расчета критических индексов для  $k = 0.7$  необходимо провести исследования систем с большими линейными размерами ( $L \geq 90$ ), где происходит ФП второго рода.

Особо следует отметить процедуру, использованную нами для определения индекса Фишера  $\eta$ . Используя отношение между восприимчивостью  $\chi$  и радиусом корреляции  $\xi$  [37]

$$\chi \propto \xi^{\gamma/\nu}, \tag{9}$$

а также соотношение  $\eta = 2 - \gamma/\nu$ , связывающее индекс  $\eta$  и  $\nu$ , получим

$$\ln(\chi/\xi^2) = c - \eta \ln \xi, \tag{10}$$

где  $c$  — некоторая константа. Для систем с конечными размерами  $\xi = L$ . Тогда при  $k_B T/|J_1| = k_B T_N/|J_1|$  имеем

$$\ln(\chi/L^2) = c - \eta \ln L. \tag{11}$$

На основе выражения (11) было определено значение индекса Фишера  $\eta$ . Эти данные также представлены в табл. 1.

Как видно из табл. 1, почти все значения критических индексов, рассчитанные нами в интервале  $k \in [0.0, 0.6]$ , в пределах погрешности совпадают между собой. Это свидетельствует о том, что в этом интервале система проявляет универсальное критическое поведение. В интервале  $k \in [0.8, 1.0]$  значения критических индексов отличаются от соответствующих значений из интервала  $k \in [0.0, 0.6]$ . Можно предположить, что при увеличении взаимодействия следующих за ближайшими соседями в системе происходит смена класса универсальности критического поведения. Кроме того, в интервале  $k \in [0.8, 1.0]$  индексы меняются с изменением  $k$ . Это позволяет нам говорить о том, что в этом интервале наблюдается неуниверсальное критическое поведение. Неуниверсальность критического поведения связана с конкуренцией обменных взаимодействий между ближайшими и следующими соседями. Это следует из решения Бэкстера для точно решаемой восьмивершинной модели [38]. Мы предполагаем, что неуниверсальность критического поведения нашей модели связана с усилением конкуренции обменных взаимодействий между ближайшими и следующими соседями при  $k > 2/3$ . Аналогичное поведение предсказывалось также и для трехмерной модели Ашкина–Теллера на кубической решетке [39].

Отметим, что полученные нами значения критических индексов в интервале  $k \in [0.0, 0.6]$  в пределах погрешности совпадают с соответствующими значениями критических индексов для нефрустрированной трехмерной модели Изинга [36]. Это свидетельствует о том, что исследуемая нами модель принадлежит к тому же классу универсальности критического поведения, что и трехмерная модель Изинга на кубической решетке.

В табл. 2 для сравнения приведены литературные данные для критических индексов, полученные в аналогичной модели. Видно, что наши результаты для интервала  $k \in [0.0, 0.6]$  находятся в хорошем согласии как

**Таблица 2.** Значения критических индексов  $\gamma$  и  $\nu$  для трехмерной антиферромагнитной модели Изинга на объемно центрированной кубической решетке (литературные данные)

| Литературная ссылка |          | Критический параметр |             |
|---------------------|----------|----------------------|-------------|
|                     |          | $\gamma$             | $\nu$       |
| Теория              | [11]     | 1.23742(20)          | 0.6308(10)  |
|                     | [40]     | 1.2378(6)            | 0.6311(3)   |
|                     | [41]     | 1.2380(50)           | 0.6305(25)  |
|                     | [42]     | 1.2371(4)            | 0.63002(23) |
|                     | Метод МК | [14]                 | 1.25(2)     |
| [43]                |          | 1.2367(11)           | 0.6296(7)   |
| [44]                |          | 1.237(2)             | 0.6301(8)   |
| [45]                |          | 1.2372(17)           | 0.6303(6)   |

с теоретическими данными [11,40–42], так и с данными других авторов, полученными методом МК [14,43–45]. Некоторые критические параметры для данной модели при различных значениях  $k$  рассчитаны нами впервые.

#### 4. Заключение

Исследование фазовых переходов и критических свойств в трехмерной антиферромагнитной модели Изинга на объемно центрированной кубической решетке с учетом взаимодействия следующих за ближайшими соседями выполнено с использованием высокоэффективного репличного алгоритма метода Монте-Карло. Рассчитаны значения всех основных статических критических индексов в интервале  $k \in [0.0, 1.0]$  с шагом  $\Delta k = 0.1$ , кроме случая  $k = 0.7$ . Установлены закономерности изменения критических параметров в рассмотренном интервале  $k$ . Обнаружено, что в интервале  $k \in [0.0, 0.6]$  система проявляет универсальное критическое поведение, а в интервале значений  $k \in [0.8, 1.0]$  наблюдается неуниверсальное критическое поведение.

#### Список литературы

- [1] С.С. Сосин, Л.А. Прозорова, А.И. Смирнов. УФН **92** (2005).
- [2] Вик.С. Доценко. УФН **165**, 481 (1995).
- [3] С.Е. Коршунов. УФН **176**, 233 (2006).
- [4] С.В. Малеев. УФН **172**, 617 (2002).
- [5] M. Tisser, B. Delamotte, D. Mouhanna. Phys. Rev. Lett. **84**, 5208 (2000).
- [6] P. Calabrese, P. Parruccini, A. Pelissetto, E. Vicari. Phys. Rev. B **70**, 174439 (2004).
- [7] G. Zumbach. Nucl. Phys. B **413**, 771 (1994).
- [8] A. Pelissetto, P. Rossi, E. Vicari. Phys. Rev. B **63**, 140414(R) (2001).
- [9] D.P. Landau, K. Binder. A guide to Monte Carlo simulations in statistical physics. Cambridge University Press, Cambridge (2000). 384 p.
- [10] P.H. Lundow, K. Markstrom, A. Rosengren. Phil. Mag. **89**, 2042 (2009).

- [11] P. Butera, M. Comi. Phys. Rev. B **65**, 144431 (2002).
- [12] P. Butera, M. Comi. Phys. Rev. B **72**, 014442 (2005).
- [13] M. Plischke, J. Oitmaa. Phys. Rev. B **19**, 487 (1979).
- [14] J.R. Banavar, D. Jasnow, D.P. Landau. Phys. Rev. B **20**, 3820 (1979).
- [15] M.J. Velgakis, M. Ferer. Phys. Rev. B **27**, 401 (1983).
- [16] А.К. Муртазаев, М.К. Рамазанов, Ф.А. Касан-Оглы, Д.Р. Курбанова. ЖЭТФ **147**, 127 (2015).
- [17] H. Kawamura. J. Phys. Soc. Jpn. **61**, 1299 (1992).
- [18] A. Mailhot, M.L. Plumer, A. Caille. Phys. Rev. B **50**, 6854 (1994).
- [19] Л.Е. Свистов, А.И. Смирнов, Л.А. Прозорова, О.А. Петренко, А.Я. Шапиро, Л.Н. Демьянц. Письма в ЖЭТФ **80**, 231 (2004).
- [20] А.К. Муртазаев, М.К. Рамазанов, М.К. Бадиев. ФНТ **37**, 1258 (2011).
- [21] F.A. Kassan-Ogly, B.N. Filippov, A.K. Murtazaev, M.K. Ramazanov, M.K. Badiiev. J. Magn. Magn. Mater. **324**, 3418 (2012).
- [22] А.К. Муртазаев, М.К. Рамазанов, М.К. Бадиев. ЖЭТФ **142**, 338 (2012).
- [23] А.К. Murtazaev, M.K. Ramazanov, M.K. Badiiev. Physica B **476**, 1 (2015).
- [24] F.A. Kassan-Ogly, A.K. Murtazaev, A.K. Zhuravlev, M.K. Ramazanov, A.I. Proshkin. J. Magn. Magn. Mater. **384**, 247 (2015).
- [25] M.K. Ramazanov, A.K. Murtazaev, M.A. Magomedov. Solid State Commun. **233**, 35 (2016).
- [26] А.К. Муртазаев, М.К. Рамазанов, М.К. Бадиев. ФТТ **52**, 1557 (2010).
- [27] А.К. Муртазаев, М.К. Рамазанов. ФТТ **53**, 1004 (2011).
- [28] A. Mitsutake, Y. Sugita, Y. Okamoto. Biopolymers Peptide Sci. **60**, 96 (2001).
- [29] А.К. Муртазаев, М.К. Рамазанов, Ф.А. Касан-оглы, М.К. Бадиев. ЖЭТФ **144**, 1239 (2013).
- [30] K. Binder, J.-Sh. Wang. J. Stat. Phys. **55**, 87 (1989).
- [31] P. Peczak, A.M. Ferrenberg, D.P. Landau. Phys. Rev. B **43**, 6087 (1991).
- [32] F. Wang, D.P. Landau. Phys. Rev. Lett. **86**, 2050 (2001).
- [33] F. Wang, D.P. Landau. Phys. Rev. E **64**, 056101 (2001).
- [34] М.К. Рамазанов. Письма в ЖЭТФ **94**, 335 (2011).
- [35] М.К. Рамазанов, А.К. Муртазаев. Письма в ЖЭТФ **101**, 793 (2015).
- [36] J.C. Le Guillou, J. Zinn-Justin. Phys. Rev. B **21**, 3976 (1980).
- [37] Ch. Holm, W. Janke. Phys. Rev. B **48**, 936 (1993).
- [38] Р. Бэкстер. Точно решаемые модели в статистической механике. Мир, М. (1985). 488 с.
- [39] G. Musial, J. Rogiers. Phys. Status. Solidi B **243**, 335 (2006).
- [40] M.J. George, J.J. Rehr. Phys. Rev. Lett. **53**, 2063 (1984).
- [41] R. Guida, J. Zinn-Justin. Nucl. Phys. B **489**, 626 (1997).
- [42] M. Campostrini, A. Pelissetto, P. Rossi, E. Vicari. Phys. Rev. E **60**, 3526 (1999).
- [43] M. Hasenbusch, K. Pinn, S. Vinti. Phys. Rev. B **59**, 11471 (1999).
- [44] H.W.J. Blote, E. Luijten, J.R. Heringa. J. Phys. A **28**, 6289 (1995).
- [45] H.W.J. Blote, L.N. Shchur, A.L. Talapov. Int. J. Mod. Phys. C **10**, 137 (1999).